

## Sol-Gel 법에 의한 $ZrO_2$ Ceramic Fiber 제조

김선욱 · 김성종 · W.C. LaCourse\*

산업과학기술연구소(RIST)

\*N.Y. State College of Ceramics, Alfred University, Alfred N.Y.

(1990년 5월 10일 접수)

## $ZrO_2$ Ceramic Fiber Fabrication by Sol-Gel Processing

Sunuk Kim, Sung Soong Kim and W.C. LaCourse\*

Ceramics Lab. RIST, Pohang, Korea

\*N.Y. State College of Ceramics, Alfred University, Alfred N.Y.

(Received May 10, 1990)

### 요약

2,4-pentanedione을 이용, 안정화된 Zirconium alkoxide로  $ZrO_2$  gel fiber를 제조하였으며 1500°C까지 열처리하여 상변화와 그에 따른 fiber의 미세구조를 관찰하였다.  $ZrO_2$  fiber는 500°C부근에서 tetragonal상을 형성하기 시작하며 1000°C에서 열처리 후에는 monoclinic상을 형성하고 1500°C의 열처리 후에는 다시 tetragonal상을 형성하나 상온에서는 monoclinic상이 관찰된다. 열처리 후의 fiber에서는 냉각중 tetragonal → monoclinic상전이에 의한 체적증가로 fiber의 grain boundary를 따라 발생한 많은 crack들이 발견되었다.

### ABSTRACT

Zirconia gel fibers were fabricated by sol-gel processing using zirconium alkoxides and 2, 4-pentanedione. Their phase transformation and microstructural evolution were studied after heat treatments up to 1500°C. Tetragonal  $ZrO_2$  began to form at 500°C and followed by monoclinic, tetragonal phase during subsequent heat treatments at 1000, 1500°C for 1hour respectively. During cooling from 1500°C, cracks were created, propagated along grain boundaries due to the volume change from tetragonal to monoclinic transformation.

### 1. 서 론

유리는 용융온도가 낮고 용융점 부근에서 일정한 모양으로 성형할 수 있는 절도를 가지므로 유리섬유 세조가 용이하나 용융온도가 높은 비화물용의 산화물을 용융에 의한 방법으로는 섬유제조가 불가능하다.

Ceramic fiber는 대부분 oxychloride, acetate,

nitrate 등을 사용, 저온(상온) 화학합성을 이용해 섬유형 테로 성형한 후 열처리하여 oxide 섬유로 제조할 수 있다<sup>1,2)</sup>.

Sol-Gel 법으로 ceramic 섬유를 제조하기 위하여는 우선적으로 적당한 절도를 갖는 fiberizable sol을 준비하는 것이 중요하다. Metal alkoxide를 이용한 섬유제조용 sol은 용액중의 precursor를 1차원적인 중합체를 형성하도록

조건을 조절하여야 한다.<sup>3)</sup>.

Sakka<sup>3)</sup>는 SiO<sub>2</sub> fiber를 제조하기 위하여 TEOS(tetra ethyl ortho silicate)에 첨가되는 물의 양을 제한하고 낮은 pH 영역에서 fiber를 만들 수 있는 sol을 준비하였다. 이 조건에서 Si alkoxide sol은 1차원적인 선형 구조를 가지며 용이하게 fiber 모양으로 성형을 할 수 있게된다<sup>3,4)</sup>.

$ZrO_2$  fiber의 제조 방법으로는 Zr 염 용액에 유기질 천이나 섬유를 담그어 낸후 인소하면 무기질의 섬유상 물질만 남게하여 섬유를 제조하는 방법(일명 Relic process라고 함)<sup>5)</sup>,  $Zr$  acetate<sup>6)</sup>,  $Zr$  oxychloride<sup>7)</sup> 등의 용액을 이용, fiber를 제조하는 방법들이 개발되었다.

본 연구에서는 Zr alkoxide 만으로는 fiber 의 제조가 불가능 하기 때문에 지금까지 개발된 방법과는 달리 alkoxide 에 2, 4-pentanedione(이후 HAcac로 칭함)을 첨가하여  $ZrO_2$  ceramic fiber 세조가 가능한 sol 을 준비하고 fiber 를 제조하는 방법과 열처리에 따른  $ZrO_2$  섬유의 결정화 및 미세구조를 조사하였다.

## 2. 실험방법

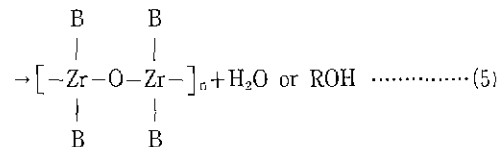
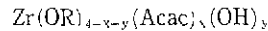
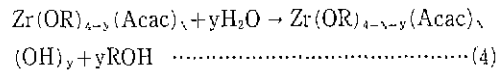
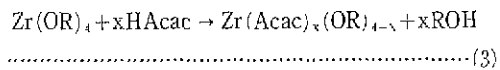
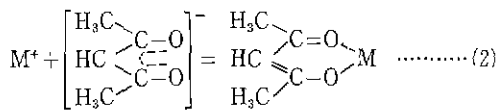
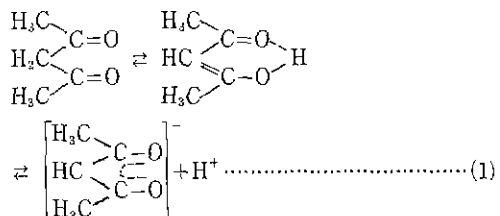
$\text{ZrO}_2$ 의 fiberizable sol은  $\text{Zr}(\text{OBu}_3)_4$  혹은  $\text{Zr}(\text{OPr})_4$ , 와 HAcac을 ethyl 대체 iso-propyl 알콜에 1:0.25~1:2의 mol 비로 혼합하여 준비하는데 알콜의 부피는 보통 1.1이면 적당하나 조건에 따라 증감이 가능하며 알콜의 양은 준비된 sol의 fiber를 제조할 수 있는 성질에 큰 영향을 미치지 않는다<sup>3)</sup>. 혼합된 용액에 0.1~0.2mol 비의 HCl을 첨가하고 물의 총합량은 1mol 비 이하로 하였다. 혼합된 sol을 aging 시켜 본 조성의 방사가 가능한 점도인 20~100poise의 점도\*에 도달하면 0.1~0.3mm 직경의 방사구를 갖는 회전 방사기에 넣고 3,000~8,000rpm의 속도로 회전시키면  $\text{ZrO}_2$  gel fiber 제조가 가능하게 된다. 제조된 fiber를 150°C의 전조로에 넣어 free 알콜 및 수분을 1일간 즘발 전조시킨다. 전조된 gel fiber는 500, 1000, 1500°C에서 각 1시간씩 열처리 후 I.R Spectroscopy로 유기물의 잔류여부를 관찰하고 상변화와 미세구조는 XRD와 SEM으로 조사하였다.

### 3. 결과 및 고찰

### 3.1. Zr alkoxide sol의 반응

Zr alkoxide 와 HAcac 를 혼합하면 다음 식과 같이 반

응이 진행된다. HAcac는 일반적으로 ionization에 의해 대부분의 금속과 안정한 화합물을 형성하는 특성<sup>9)</sup>이 있으므로 첨가되는 HAcac는 Zr과 매우 안정한 결합을 형성하여 치환되는 alkyl 그룹 수는 HAcac 첨가량에 비례한다.



여기서  $B = OR$  내지  $Acac$  이다.

Zr alkoxide의 반응성이 높은 4개의 alkyl 그룹중 일부를 Acac 그룹으로 대체하면 그 만큼의 반응성이 높은 그룹의 속도를 느리게 하는 역할을 하므로 빠른 속도로 반응하는 alkoxide의 반응속도 조절이 가능하게 된다<sup>10)</sup>. 식 (3)~(5)의 HAcac의 첨가량 외에도 fiber 제조가 가능한 sol을 준비하는 데에는 첨가되는 물의 양도 중요한 역할을 하는데 물이 과량으로 첨가되면 3차원적으로 중합반응이 진행되어 monolithic gel을 형성하므로 섞유제조가 불가능하게 되므로 물의 양을 제한하여야 한다.

### 3.2. ZrO<sub>2</sub> fiber 제조 및 열처리

$\text{ZrO}_2$  gel fiber는 aging 하여 점도가 20~100 poise에 도달하면 회전방사하여 fiber를 제조할 수 있게 된다.

방사구의 직경과 sol의 절도에 따라 회전속도를 조절하여 fiber를 제조하나 절도가 100poise 이상 증가하면 방사하여 fiber를 제조하기가 곤란해진다.

\* Brookfield Viscometer 를 사용

gel fiber는 1500°C에서 1시간 열처리하면 1μm~15μm 직경의 ZrO<sub>2</sub> fiber가 된다.

제조된 gel fiber는 400~600°C의 열처리로 대부분의 유기물의 제거된다. Fig. 1의 IR spectra에서 관찰되는 gel fiber의 Acac 그룹과 iso-propyl 그룹에 의해 나타나는 흡수대(absorption band)들이 500°C의 열처리 후에는 1500°C에서 열처리한 것과 유사한 spectrum을 갖고 있음을 알 수 있다.

열처리 전 gel fiber의 I.R. spectra에서 관찰되는 흡수대의 위치는 3400, 1576, 1533, 1448, 1364, 1285, 1028, 646cm<sup>-1</sup>으로 3400cm<sup>-1</sup>의 흡수대는 gel fiber 내의 물에 의한 것이고 1576, 1533cm<sup>-1</sup>는 Zr에 결합되어 있는 Acac 그룹의 C—O stretching에 의한 것으로 독립되어 HAcac로 존재할 때에는 1700cm<sup>-1</sup>부근에서 관찰된다<sup>[11]</sup>. 나머지 흡수대는 Acac과 iso-propyl 그룹에서 대부분 같이 관찰되는 흡수대로서 본 연구에서 그 이상의 자세한 규명은 실시하지 않았으며 I.R. spectrum에 의한 유기물의 제거가 완료되는 온도를 파악하고자 하였다. 그 결과 대부분의 수분과 유기물이 500°C 정도의 열처리로 제거됨을 알 수 있다.

ZrO<sub>2</sub> fiber는 약 500°C 이상의 온도에서 유기물이 제거되며 pyrolysis에 의해 잔류 alkyl 그룹, 혹은 Acac 그룹이 등종의 그룹이나 잔류 OH 그룹과 반응, 결합을 형성하며 소결이 진행되어 강도가 증가하게 된다. 500°C보다 낮

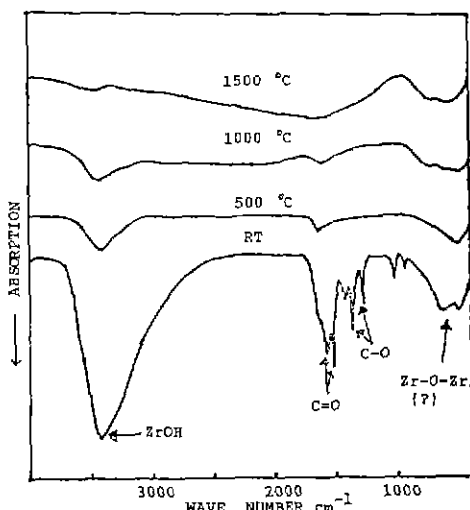


Fig. 1. FTIR spectra of ZrO<sub>2</sub> gel fibers heat treated at different temperatures.

은 온도에서는 유기물이 점차 제거되기 시작하지만 소결이 이루어지지 않은 상태로 취급시 쉽게 부서지는 정도로 약한 강도를 갖는다. 유기물이 제거된 후 더 높은 온도에서 열처리를 하여야만 gel fiber의 소결이 이루어져 강도를 증가 시킬 수 있다. 1000°C~1500°C의 열처리후 bulk fiber의 부피는 60~80% 감소된다. ZrO<sub>2</sub> 세라믹 fiber의 직경이 크면 강도의 급격한 감소<sup>[2]</sup>가 예상되며 1μm 이하일 경우에는 인체내에 흡입되어 치명적인 환경 공해문제가 발생되므로<sup>[2]</sup> 3~5μm 가 적합하며 상용되는 단열용 fiber도 이 범위에 속한다.

### 3.3. ZrO<sub>2</sub> fiber의 상변화

본 실험에서 monoclinic과 tetragonal상의 격자간 거리(회절이 일어나는 d)값은 2.8 Å (=31.4° in 2-theta) 이하에서는 유사한 값을 가지며 대부분 중복되거나 부근의 두개의 peak가 한개로 합쳐 나타나는 경우가 많으므로 두상이 공존하는 본 실험의 ZrO<sub>2</sub> fiber 상변화는 monoclinic과 tragonal상의 주 회절 peak인 28.16, 31.4와 29.86의 회절각(2θ)을 이용 상변화를 관찰하였다.

Fig. 2의 500°C에서 1시간 열처리된 ZrO<sub>2</sub> fiber의 XRD pattern은 거의 비정질에 가까우나 그중 발달되기 시작하는 main peak는 tetragonal ZrO<sub>2</sub>의 main peak와 일치하여 ZrO<sub>2</sub> fiber 중에 tetragonal상이 형성되고 있음을 보

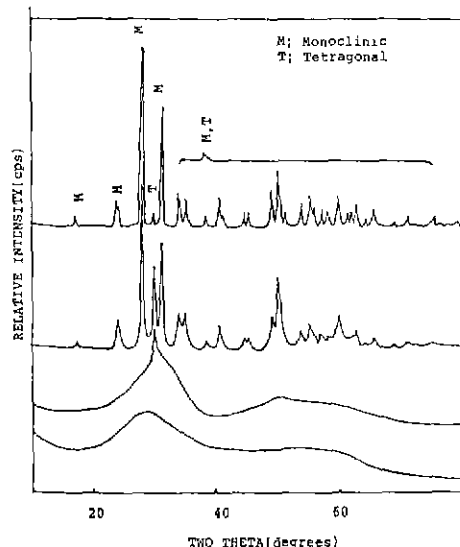


Fig. 2. X-ray diffraction patterns of pure zirconia gel fibers after heat treatments at 150, 500, 1000, 1500°C (bottom to top) for 1 hour respectively.

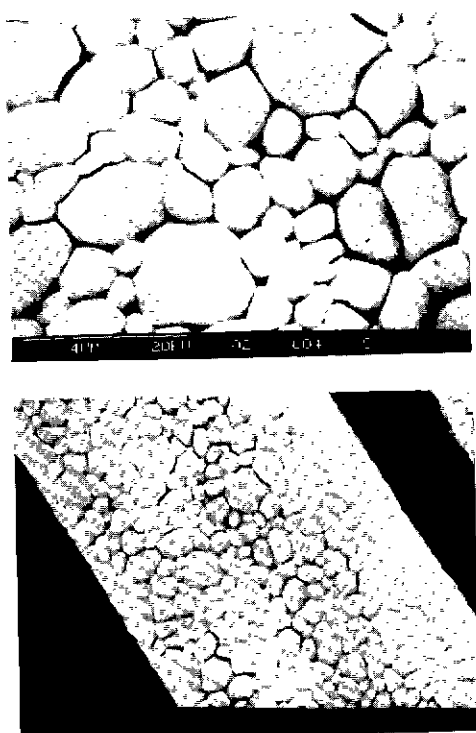


Fig.3. SEM electronmicrographs of pure zirconia fiber after heattreatment at 1500°C for one hour

여 주고있다. 고온 상이 gel matrix의 첫번째 결정상으로 나타나는 이유는 gel 상태와 가장 가까운 구조를 갖는 고온상이 적은 에너지로 쉽게 결정화될 수 있기 때문이다<sup>[12]</sup>. 600°C 열처리 후에는 monoclinic상으로 전이되고 1000°C에서는 다시 tetragonal상이 발달되기 시작하며 1500°C에서 열처리후 상은으로 냉각후에는 monoclinic상이 관찰되었다. 1500°C에서 fiber는 tetragonal상이었을 것이나 냉각중 tetragonal → monoclinic상전이를 한 것으로 예상되며 이를 Fig.3의 1500°C에서 열처리한  $ZrO_2$  fiber의 미세구조가 뒷받침해 주고있다. Fig.3의 S.E.M. 사진은 tetragonal → monoclinic상전이에 동반되는 부피변화에 따른 stress에 의해 grain boundary를 따라 crack이 매우 심하게 형성되어 있음을 보여주어 순수  $ZrO_2$ 의 기계적 강도가 상변화에 의한 체적변화에 의해 큰 영향을 받고 있음을 알 수 있다. 또한 균열이 일어난 부분이 날카로운 것을 냉각시 상변화로 인한 부피변화로 균열이 형성되었음을 뒷받침 해준다.

#### 4. 결 론

1)  $Zr$  alkoxide를 단독으로 사용시 alkoxide의 빠른 반응속도로 인해 sol의 준비가 어려우나 HAcac을 적당량(0.25~2mol 비/ $Zr$ ) 사용하여 alkoxide의 alkyl 그룹을 Acac 그룹으로 대체하면 alkoxide는 그만큼 안정한 특성을 갖고 용이하게  $ZrO_2$  fiber를 제조할 수 있는 sol을 준비할 수 있고 고온용(2000°C 이상) 단열재로 사용되는  $ZrO_2$  fiber를 제조할 수 있는 새로운 방법을 제시하였다.

2) 본 실험에서 제조된  $ZrO_2$  섬유는 가열시 tetragonal → monoclinic → tetragonal의 순으로 전이하고 냉각시 tetragonal → monoclinic으로 전이하며 체적 변화에 의해 입체면을 따라 균열이 발생하였고 날카로운 입체면들이 냉각시에 균열이 발생했음을 입증한다.

3) 제조된  $ZrO_2$  fiber가 높은 강도를 요구하는 용도로 사용될 때는 균열이 발생치 않도록 결정상을 안정화 시킬 필요가 있다.

#### REFERENCES

1. E. Leroy et. al, "Fabrication of Zirconia Fibers from Sol-Gels," pp.219-231 in Ultrastructure Processing of Ceramics, Glasses and Composites edited by L.L. Hench & D.R. Ulrich, John Wiley and Sons Inc. NY, 1984.
2. W. W and B.V. Perov, Strong Fibers (1985) North Holland, pp.117-120, 135-136.
3. K. Kamiya & S. Sakka, "Preparation of Refractory Oxide Fibers from Metal Alcohoxides," Proc. of International Symposium on Factors in Densification and Sintering of Oxide and Non-Oxide Ceramics (1978) Japan, pp 614-618.
4. S. Sakka & K. Kamiya, "Preparation of Glass Fibers of the  $ZrO_2-SiO_2$  and  $Na_2O-ZrO_2-SiO_2$  Systems form Metal Alkoxides and Their Resistance to Alkaline Solution," *J. Mat. Sci.* 15 pp.1765-1771, (1980).
5. U.S. Patent No. 3860529 (1968).
6. T. Kokubo et. al, "Preparation of Amorphous  $ZrO_2$  Fibers by Unidirectional Freezing of Gel," *J. Non-Cryst. Sol.*, 56 pp.411-416, (1983).

7. M.J Morten et al, "Fabrication of Zirconia Fibers from Sol-Gels," in Ultrastructure Processing of Ceramics, Glasses and Composites edited by L.L. Hench & D.R. Ulrich, John Wiley and Sons Inc. NY, 1984.
8. S Kim, "The Use of Titanium di iso-propoxy bis-acetylacetone and The Formation of  $TiO_2$  and  $TiO_2-SiO_2$  Sol, Gels and Glasses," Ph. D. Thesis, Alfred University, Alfred (1986)
9. F A Cotton & G. Wilkinson, Advanced Inorganic Chemistry, 4th ed ; John Wiley & Sons, N.Y 1980 pp 166-167
10. S. Kim & W. C. LaCourse, "Fabrication of  $TiO_2$ ,  $TiO_2-SiO_2$  Gels and Their Crystallization Behaviors," Submitted to J. Ceram. Soc. of Korea (1990)
11. S. Kim & W.C. LaCourse, "Hydrolysis of Double Alkoxide," Submitted to J. Ceram. Soc. of Korea (1990)
12. A. Matthews, "The Crystallization of Anatase and Rutile form Amorphous  $TiO_2$  under Hydrothermal Conditions," American Mineralogist vol. 61 pp 419-424, 1976.